

高等数值分析  
Advanced Numerical Analysis

Dait

# 目 录

<b>第一章 数学基础知识</b>	<b>1</b>
1.1 线性空间 . . . . .	1
1.1.1 线性空间 . . . . .	1
1.1.2 线性空间的基和维度 . . . . .	1
1.2 范数 . . . . .	2
1.2.1 度量空间 . . . . .	2
1.2.2 赋范空间与范数 . . . . .	3
1.2.3 范数的等价性 . . . . .	5
1.3 内积 . . . . .	5
1.4 矩阵空间 . . . . .	8
1.4.1 矩阵范数 . . . . .	8
1.4.2 算子范数 . . . . .	9
1.4.3 扰动定理 . . . . .	11
<b>第二章 函数插值和重构</b>	<b>12</b>
2.1 一维多项式插值 . . . . .	12
2.1.1 Lagrange 插值 . . . . .	12
2.1.2 Lagrange 插值的收敛性 . . . . .	14
2.1.3 Newton 插值公式 . . . . .	15
2.1.4 Hermite 插值 . . . . .	16
2.2 分段插值 . . . . .	17
2.2.1 分段线性插值 . . . . .	17
2.2.2 分段三次 Hermite 插值 . . . . .	18
2.3 Fourier 插值 . . . . .	19
<b>第三章 函数逼近</b>	<b>20</b>
3.1 最佳平方逼近 . . . . .	20
3.1.1 法方程 . . . . .	20
3.1.2 正交多项式 . . . . .	21
3.2 最小二乘法 . . . . .	22
3.3 最佳一致逼近 . . . . .	23

<b>第四章 数值积分</b>	<b>25</b>
4.1 Newton-Cotes 公式 . . . . .	26
4.1.1 闭型 Newton-Cotes 公式 . . . . .	26
4.1.2 开型 Newton-Cotes 公式 . . . . .	27
4.1.3 积分法的一致稳定性 . . . . .	27
4.2 复合求积公式 . . . . .	28
4.3 Romberg 求积方法 . . . . .	29
4.3.1 Euler-Maclaurin 求积公式 . . . . .	29
4.3.2 Richardson 外推方法 . . . . .	30
4.3.3 Romberg 求积方法 . . . . .	30
4.4 Gauss 求积公式 . . . . .	31
<b>第五章 线性代数方程组的直接解法</b>	<b>33</b>
5.1 矩阵操作 . . . . .	33
5.2 Gauss 消元法 . . . . .	37
5.3 稳定性分析 . . . . .	37

# 第一章 数学基础知识

## 1.1 线性空间

### 1.1.1 线性空间

#### 定义 1.1.1: 线性空间

给定一个数域  $\mathbb{F}$  (本笔记只涉及实数域  $\mathbb{R}$  和复数域  $\mathbb{C}$ ) 和一个集合  $V$ , 定义加法  $+: V \times V \rightarrow V$  满足:

- 结合律:  $(a + b) + c = a + (b + c)$ ,
- 零元:  $a + 0 = a$ ,
- 逆元:  $a + (-a) = 0$ ,
- 交换律:  $a + b = b + a$ ;

数乘  $\cdot: \mathbb{F} \times V \rightarrow V$  满足:

- 单位元:  $1a = a$ ,
- 结合律:  $(\lambda\mu)a = \lambda(\mu a)$ ,
- 分配率 1:  $(\lambda + \mu)a = \lambda a + \mu a$ ,
- 分配率 2:  $\lambda(a + b) = \lambda a + \lambda b$ .

则称  $V$  在  $\mathbb{F}$  上构成一个线性空间 (linear space).

#### 例 1.1.1: 线性空间的例子

- $\mathcal{C}^n[a, b]$ : 全体在  $[a, b]$  上  $n$  次导数连续 (continuous) 的函数构成的集合.
- $\mathcal{P}_n = \{a_0 + a_1x + \cdots + a_nx^n \mid a_i \in \mathbb{F}\}$ :  $n$  次多项式函数空间.

### 1.1.2 线性空间的基和维度

#### 定义 1.1.2: 线性无关

设  $V$  是线性空间, 给定其中  $n$  个元素  $x_1, \dots, x_n \in V$ , 若

$$a_1x_1 + \cdots + a_nx_n = 0, \iff a_1 = \cdots = a_n = 0, \quad (1.1)$$

则称  $x_1, \dots, x_n$  线性无关 (linear independent). 反之, 称为线性相关.

**例 1.1.2: 线性无关的例子**

- $\mathcal{P}_n$  中  $\{1, x, \dots, x^n\}$  是线性无关的;
- 所有  $[-\pi, \pi]$  上的周期函数构成的函数空间是线性空间, 其中

$$\{1, \cos x, \sin x, \dots, \cos nx, \sin nx\}$$

线性无关.

**定义 1.1.3: 线性空间的基和维度**

给定线性空间  $V$  中的一组元素  $\{x_1, \dots, x_n\}$ , 若  $\forall x \in V$  都可以被唯一表示为其线性组合

$$x = a_1 x_1 + \dots + a_n x_n, \quad (1.2)$$

则称  $\{x_1, \dots, x_n\}$  构成一组基 (base), 且  $V$  的维度  $\dim(V) = n$ .

**定理 1.1.1**

线性空间的维度与基的选取没有关系.

**例 1.1.3: 典型线性空间的维度**

- $\dim(\mathcal{P}_n) = n$ ;
- $\dim(\mathcal{C}[a, b]) = +\infty$ .

## 1.2 范数

### 1.2.1 度量空间

**定义 1.2.1: 度量空间**

给定集合  $M$ , 若映射  $d: M \times M \rightarrow \mathbb{R}$  满足:

- 正定性:  $d(x, y) \geq 0$ , 且  $d(x, y) = 0 \iff x = y$ ;
- 交换性:  $d(x, y) = d(y, x)$ ;
- 三角不等式:  $d(x, y) + d(y, z) \geq d(x, z)$ .

则称  $M$  是一个度量空间 (metric space) 或距离空间,  $d$  为度量函数或距离函数.

**定义 1.2.2: Cauchy 序列**

对于序列  $\{x_n\}$ , 若  $\forall \varepsilon > 0, \exists N \in \mathbb{N}$  满足:

$$d(x_m, x_n) < \varepsilon, \quad \forall m, n > N, \quad (1.3)$$

则称  $\{x_n\}$  为 Cauchy 序列 (Cauchy sequence).

**定义 1.2.3: 度量空间的完备性**

若  $\forall$  Cauchy 序列  $\{x_n\} \subset M$ ,  $\exists x \in M$  满足:

$$\lim_{n \rightarrow \infty} d(x_n, x) = 0, \iff \lim_{n \rightarrow \infty} x_n = x,$$

则称度量空间  $M$  是完备的 (complete).

注. 不严谨地说, 完备性要求: 所有收敛的序列都会收敛到  $M$  中.

**例 1.2.1: 实数公理**

实数集  $\mathbb{R}$  中的度量函数  $d(a, b) = |a - b|$  是完备的.

**定理 1.2.1: 完备化定理**

若  $(M, d)$  是一个度量空间, 则存在唯一等距同构的完备化空间.

证明. 构造性证明, 令  $\tilde{M}$  是  $M$  中所有 Cauchy 序列  $\tilde{x} = \{x_n\}$  的集合. 在  $\tilde{M}$  中定义等价关系  $\sim$ :

$$\tilde{x} \sim \tilde{y} \iff \lim_{n \rightarrow \infty} d(x_n, y_n) = 0.$$

令  $[\tilde{x}] = \{\tilde{y} \mid \tilde{x} \sim \tilde{y}\}$  表示  $\tilde{x}$  的等价类,  $\hat{M} = \{[\tilde{x}] \mid \tilde{x} \in \tilde{M}\}$  是  $M$  中所有 Cauchy 序列的等价类构成的集合. 定义  $\hat{M}$  上的度量为

$$\hat{d}([\tilde{x}], [\tilde{y}]) := \lim_{n \rightarrow \infty} d(x_n, y_n),$$

可证  $(\hat{M}, \hat{d})$  是完备的度量空间. 且存在等距嵌入

$$i : M \rightarrow \hat{M}, \quad x \mapsto [\{x, x, \dots\}].$$

即  $i$  是映射到对应常数序列的等价类. □

**1.2.2 赋范空间与范数****定义 1.2.4: 赋范空间与范数**

若映射  $\|\cdot\| : S \rightarrow \mathbb{R}$  满足:

- 正定性:  $\|f\| \geq 0$ , 且  $\|f\| = 0 \iff f = 0$ ;
- 齐次性:  $\|\lambda f\| = |\lambda| \|f\|$ ;
- 三角不等式:  $\|f + g\| \leq \|f\| + \|g\|$ .

则称  $(S, \|\cdot\|)$  构成一个赋范空间 (normed space),  $\|\cdot\|$  是  $S$  的范数 (norm).

推论. 显然, 赋范空间也是度量空间, 只需定义

$$d(f, g) = \|f - g\|,$$

注. 完备的赋范空间称为 Banach 空间.

例 1.2.2:  $\mathbb{R}^n$  的范数

$x = (x_1, \dots, x_n)^\top \in \mathbb{F}^n$  的  $p$ -范数为

$$\|x\|_p = \left( \sum_{i=1}^n |x_i|^p \right)^{1/p}.$$

如

$$\|x\|_\infty = \max_i |x_i|, \quad (1.4a)$$

$$\|x\|_1 = \sum_{i=1}^n |x_i|, \quad (1.4b)$$

$$\|x\|_2 = \left( \sum_{i=1}^n |x_i|^2 \right)^{1/2}, \quad (1.4c)$$

证明. 下面给出 (1.4a) 的证明. 记  $k = \arg \max_i |x_i|$ ,  $\forall p > 0$

$$|x_k|^p \leq \sum_{i=1}^n |x_i|^p \leq n |x_k|^p,$$

两边开  $p$  次方, 并  $p \rightarrow \infty$ , 即得  $\|x\|_\infty = |x_k|$ . □

例 1.2.3:  $C[a, b]$  的范数

$f(x) \in C[a, b]$  的  $p$ -范数为

$$\|f\|_p = \left( \int_a^b |f(x)|^p dx \right)^{1/p}.$$

如

$$\|f\|_\infty = \max_{a \leq x \leq b} |f(x)|, \quad (1.5a)$$

$$\|f\|_1 = \int_a^b |f(x)| dx, \quad (1.5b)$$

$$\|f\|_2 = \left( \int_a^b |f(x)|^2 dx \right)^{1/2}, \quad (1.5c)$$

$C[a, b]$  中,  $\|\cdot\|_\infty$  是完备的, 而  $\|\cdot\|_1$  不是.

## 1.2.3 范数的等价性

## 定义 1.2.5: 范数的等价性

给定线性空间  $S$  上的两个范数  $\|\cdot\|_\alpha, \|\cdot\|_\beta$ , 若  $\exists C_1, C_2 > 0$  满足:

$$C_1 \|x\|_\alpha \leq \|x\|_\beta \leq C_2 \|x\|_\alpha,$$

则称  $\|\cdot\|_\alpha, \|\cdot\|_\beta$  等价 (equivalent).

## 定理 1.2.2

有限维线性空间中, 任意两个范数都是等价的.

## 1.3 内积

## 定义 1.3.1: 内积

给定线性空间  $S$ , 内积 (inner product) 是一个映射  $\langle \cdot, \cdot \rangle : S \times S \rightarrow \mathbb{F}$ , 满足:

- 正定性:  $\langle x, x \rangle \geq 0$ , 且  $\langle x, x \rangle = 0 \iff x = 0$ ;
- 交换共轭:  $\langle x, y \rangle = \overline{\langle y, x \rangle}$ ;
- 对第一个变量线性:  $\langle ax + by, z \rangle = a \langle x, z \rangle + b \langle y, z \rangle$ .

若  $\langle x, y \rangle = 0$ , 则称  $x, y$  是正交的 (orthogonal).

内积诱导的范数:

$$\|x\|_2 := \sqrt{\langle x, x \rangle}, \quad (1.6)$$

## 例 1.3.1: 内积实例

$\mathbb{R}^n$  的内积为

$$\langle x, y \rangle = \sum_{i=1}^n x_i y_i,$$

$C[a, b]$  的内积为

$$\langle f, g \rangle = \int_a^b f(x) \overline{g(x)} dx.$$

## 定理 1.3.1: 内积空间线性无关的判定

给定内积空间  $S$ ,  $x_1, \dots, x_n \in S$  是线性无关的  $\iff$  Gramm 矩阵满秩:

$$G_n = \begin{bmatrix} \langle x_1, x_1 \rangle & \cdots & \langle x_1, x_n \rangle \\ \vdots & \ddots & \vdots \\ \langle x_n, x_1 \rangle & \cdots & \langle x_n, x_n \rangle \end{bmatrix}, \quad (1.7)$$

即  $\det(G_n) \neq 0$ .



证明. 设  $a = (a_1, \dots, a_n)$  满足  $aG_n = 0$ , 则  $\forall k = 1, \dots, n$

$$(aG_n)_k = a_1 \langle x_1, x_k \rangle + \dots + a_n \langle x_n, x_k \rangle = \langle a_1 x_1 + \dots, a_n x_n, x_k \rangle = 0,$$

特别地,

$$\langle a_1 x_1 + \dots + a_n x_n, a_1 x_1 + \dots + a_n x_n \rangle = 0, \iff a_1 x_1 + \dots, a_n x_n = 0,$$

则  $\det(G_n) \neq 0 \iff N(G_n^\top) = \{0\} \iff a$  只有零解. □

### 例 1.3.2

给定内积空间  $S$  的一组基  $\{x_1, \dots, x_n\}$ , 则  $\forall x \in S$  均可以写成

$$x = a_1 x_1 + \dots + a_n x_n,$$

下面计算  $a_1, \dots, a_n$ . 两边分别与  $x_i$  做内积:

$$\langle x, x_i \rangle = a_1 \langle x_1, x_i \rangle + \dots + a_n \langle x_n, x_i \rangle,$$

即

$$[\langle x, x_1 \rangle \ \dots \ \langle x, x_n \rangle] = [a_1 \ \dots \ a_n] G_n,$$

若基是正交的, 即  $\forall i \neq j, \langle x_i, x_j \rangle = 0$ , 则

$$a_i = \frac{\langle x, x_i \rangle}{\langle x_i, x_i \rangle}.$$

### 定理 1.3.2: Schmidt 正交化

设  $x_1, \dots, x_n$  是一组线性无关的基, 为得到一组正交基, 定义

$$y_i = x_i - \sum_{j=1}^{i-1} \frac{\langle x_i, y_j \rangle}{\langle y_j, y_j \rangle} y_j. \quad (1.8)$$

则  $y_1, \dots, y_n$  是正交的.

### 定义 1.3.2: 带权内积

设  $\rho \in \mathcal{C}(a, b)$  是一个几乎处处为正<sup>1</sup>的函数, 且

$$\int_a^b \rho(x) dx < +\infty,$$

定义内积

$$\langle f, g \rangle = \int_a^b f(x)g(x)\rho(x) dx. \quad (1.9)$$

<sup>1</sup>即  $\{x | \rho(x) \leq 0\}$  的 Lebesgue 测度为 0.

**定义 1.3.3: 正交多项式**

已知  $\{1, x, \dots, x^n\}$  是线性无关的. 考虑  $C[a, b]$  上的带权内积, Schmidt 正交化得到一组多项式函数

$$\psi_0(x), \psi_1(x), \dots, \psi_n(x),$$

显然,  $\deg(\psi_i) = i$ .

**例 1.3.3: Legendre 多项式**

权函数  $\rho = 1$ , 区间  $[-1, 1]$ , 得到 Legendre 多项式

$$P_n(x) = \frac{1}{2^n n!} \frac{d^n}{dx^n} (x^2 - 1)^n. \quad (1.10)$$

- 内积

$$\langle P_n, P_m \rangle = \frac{2}{2n+1} \delta_{nm}. \quad (1.11)$$

- 递归关系

$$(n+1)P_{n+1}(x) = (2n+1)xP_n(x) - nP_{n-1}(x). \quad (1.12)$$

- 奇偶性

$$P_n(-x) = (-1)^n P_n(x). \quad (1.13)$$

**例 1.3.4: Chebyshev 多项式**

权函数  $\rho(x) = (1-x^2)^{-1/2}$ , 区间  $[-1, 1]$ , 得到 Chebyshev 多项式

$$T_n(x) = \cos(n \arccos x). \quad (1.14)$$

- 内积

$$\langle T_n, T_n \rangle = \begin{cases} \pi, & n = 0 \\ \pi/2, & n \geq 1 \end{cases} \quad (1.15)$$

- 递推关系

$$T_{n+1}(x) = 2xT_n(x) - T_{n-1}(x). \quad (1.16)$$

- 奇偶性

$$T_n(-x) = (-1)^n T_n(x); \quad (1.17)$$

- $T_n$  的  $n$  个实单根为  $\cos\left(\frac{2k-1}{2n}\pi\right)$ ,  $(n+1)$  个极值点为  $\cos\left(\frac{k}{n}\pi\right)$

- 当  $|x| \geq 1$  时,

$$T_n(x) = \frac{1}{2} \left[ \left( x + \sqrt{x^2 - 1} \right)^k + \left( x - \sqrt{x^2 - 1} \right)^k \right]. \quad (1.18)$$

## 1.4 矩阵空间

### 1.4.1 矩阵范数

#### 定义 1.4.1: 矩阵范数

矩阵空间上的范数  $\|\cdot\| : \mathbb{F}^{n \times n} \rightarrow \mathbb{R}$  若满足

$$\|AB\| \leq \|A\| \|B\|, \quad (1.19)$$

则  $\|\cdot\|$  称为矩阵范数 (matrix norm).

#### 例 1.4.1: Frobenius 范数

定义 Frobenius 范数

$$\|A\|_F := \sqrt{\sum_{i=1}^n \sum_{j=1}^n |A_{ij}|^2}. \quad (1.20)$$

是一个矩阵范数.

证明. 由 Cauchy-Schwarz 不等式

$$\begin{aligned} \|AB\|_F &= \sqrt{\sum_{i=1}^n \sum_{j=1}^n \left| \sum_{k=1}^n A_{ik} B_{kj} \right|^2} \leq \sqrt{\sum_{i=1}^n \sum_{j=1}^n \left( \sum_{k=1}^n |A_{ik}|^2 \sum_{k=1}^n |B_{kj}|^2 \right)} \\ &= \sqrt{\sum_{i=1}^n \sum_{k=1}^n |A_{ik}|^2 \sum_{j=1}^n \sum_{k=1}^n |B_{kj}|^2} = \|A\|_F \|B\|_F. \quad \square \end{aligned}$$

注意到

$$\operatorname{tr}(A^\dagger A) = \sum_{i=1}^n (A^\dagger A)_{ii} = \sum_{i=1}^n \sum_{j=1}^n A_{ij}^\dagger A_{ji} = \sum_{i=1}^n \sum_{j=1}^n |A_{ji}|^2.$$

故

$$\|A\|_F = \sqrt{\operatorname{tr}(A^\dagger A)} = \sqrt{\operatorname{tr}(AA^\dagger)}. \quad (1.21)$$

#### 定义 1.4.2: 矩阵范数与向量范数的相容

给定矩阵范数  $\|\cdot\|_M$  和向量范数  $\|\cdot\|_V$ , 若  $\forall A \in \mathbb{F}^{n \times n}, x \in \mathbb{F}^n$

$$\|Ax\|_V \leq \|A\|_M \|x\|_V, \quad (1.22)$$

则称他们是相容的. 在不引起混淆的情况下, 可以略去下标.

#### 定理 1.4.1

Frobenius 范数与向量 2 - 范数相容.

证明.

$$\|Ax\|_2 = \sqrt{\sum_{i=1}^n \left| \sum_{j=1}^n A_{ij}x_j \right|^2} \leq \sqrt{\sum_{i=1}^n \left( \sum_{j=1}^n |A_{ij}|^2 \sum_{j=1}^n |x_j|^2 \right)} = \|A\|_F \|x\|_2. \quad \square$$

### 1.4.2 算子范数

#### 定义 1.4.3: 算子范数

定义矩阵的算子范数 (operate norm)

$$N : \mathbb{F}^{n \times n} \rightarrow \mathbb{R}, \quad A \mapsto \sup_{x \neq 0} \frac{\|Ax\|}{\|x\|}. \quad (1.23)$$

称算子范数是该向量范数诱导出来的矩阵范数.

注. 注意  $N(I) = 1$ . 故 Frobenius 范数不是算子范数.

#### 定理 1.4.2

$N(\cdot)$  是一个矩阵范数, 并与向量范数相容.

证明. 易得  $\forall x \neq 0, \|Ax\| \leq N(A) \|x\|$ .

$$N(AB) = \sup_{x \neq 0} \frac{\|ABx\|}{\|x\|} \leq \sup_{x \neq 0} \frac{N(A) \|Bx\|}{\|x\|} = N(A)N(B). \quad \square$$

#### 定义 1.4.4: 谱半径

矩阵  $A$  全体特征值的集合称为  $A$  的谱, 记作  $\sigma(A)$ , 特征值模的最大值称为谱半径, 记作  $\rho(A)$ .

#### 例 1.4.2

设  $A \in \mathbb{F}^{n \times n}$ , 则  $p$ -向量范数诱导出来的矩阵范数为:

$$\|A\|_\infty = \max_i \sum_{j=1}^n |A_{ij}|, \quad (1.24a)$$

$$\|A\|_1 = \max_j \sum_{i=1}^n |A_{ij}|, \quad (1.24b)$$

$$\|A\|_2 = \sqrt{\rho(A^\dagger A)}, \quad (1.24c)$$

证明. 先证明 (1.24b), 将  $A$  写作列向量的形式  $(A_1, \dots, A_n)$ , 令  $k = \arg \max_j \|A_j\|_1$ ,

则  $\forall x \in \mathbb{F}^n$  且  $\|x\|_1 = \sum_{j=1}^n |x_j| = 1$ , 有

$$\|Ax\|_1 = \left\| \sum_{j=1}^n A_j x_j \right\|_1 \leq \sum_{j=1}^n |x_j| \|A_j\|_1 \leq \|A_k\|_1 \sum_{j=1}^n |x_j| = \|A_k\|_1 \|x\|_1 = \|A_k\|_1,$$

特别地, 取  $x = e_k$  可使等号成立, 故

$$\|A\|_1 = \sup_{\|x\|_1=1} \|Ax\|_1 = \|A_k\|_1 = \max_j \sum_{i=1}^n |A_{ij}|;$$

然后证明 (1.24a), 令  $k = \arg \max_i \sum_{j=1}^n |A_{ij}|$ ,  $\forall x \in \mathbb{F}^n$  且  $\|x\|_\infty = \max_j |x_j| = 1$ , 有

$$\|Ax\|_\infty = \max_i \left| \sum_{j=1}^n A_{ij} x_j \right| \leq \max_i \sum_{j=1}^n |A_{ij}| |x_j| \leq \max_i \sum_{j=1}^n |A_{ij}| \max_j |x_j| = \sum_{j=1}^n |A_{kj}|.$$

特别地, 取  $x_j = \text{sgn}(A_{kj})$  可使等号成立, 故

$$\|A\|_\infty = \sup_{\|x\|_\infty=1} \|Ax\|_\infty = \max_i \sum_{j=1}^n |A_{ij}|;$$

最后证明 (1.24c), 由 2 - 范数的性质:

$$\|A\|_2^2 = \sup_{\|x\|_2=1} \langle Ax, Ax \rangle = \sup_{\|x\|_2=1} \langle A^\dagger A x, x \rangle = \rho(A^\dagger A). \quad \square$$

#### 定理 1.4.3

谱半径  $\rho(A)$  和矩阵范数的关系:

$$\rho(A) \leq \|A\|. \quad (1.25)$$

证明. 考虑  $A$  的一个特征值  $\lambda$  和特征向量  $x$ , 则

$$|\lambda| \|xx'\| = \|Axx'\| \leq \|A\| \|xx'\|.$$

于是  $\|A\| \geq |\lambda|$ . □

#### 定理 1.4.4

给定  $A \in \mathbb{F}^{n \times n}$ ,  $\epsilon > 0$ , 存在算子范数  $\|\cdot\|$  满足:

$$\|A\| \leq \rho(A) + \epsilon. \quad (1.26)$$

引理. 若  $\|\cdot\|_\alpha$  是  $\mathbb{F}^n$  中的向量范数,  $P \in \mathbb{F}^{n \times n}$  非奇异, 则

$$\|\cdot\|_{P,\alpha} : x \mapsto \|Px\|_\alpha,$$

构成另一个向量范数, 诱导的算子范数为

$$\|A\|_{P,\alpha} = \|PAP^{-1}\|_\alpha.$$

证明. 令  $P$  将  $A$  相似变换为 Jordan 型, 即

$$PAP^{-1} = J = \text{diag}(J_1, \dots, J_r), \quad J_i = \begin{bmatrix} \lambda_i & 1 & & \\ & \ddots & \ddots & \\ & & \ddots & 1 \\ & & & \lambda_i \end{bmatrix}$$

令  $D_\epsilon = \text{diag}(1, \epsilon, \dots, \epsilon^{n-1})$ , 则

$$\hat{J} = D_\epsilon^{-1} J D_\epsilon = \text{diag}(\hat{J}_1, \dots, \hat{J}_r), \quad \hat{J}_i = \begin{bmatrix} \lambda_i & \epsilon & & \\ & \ddots & \ddots & \\ & & \ddots & \epsilon \\ & & & \lambda_i \end{bmatrix}$$

则

$$\|A\|_{D_\epsilon^{-1}P, \infty} = \|D_\epsilon^{-1}PAP^{-1}D_\epsilon\|_\infty = \|\hat{J}\|_\infty \leq \rho(A) + \epsilon. \quad \square$$

注. 对任意满足  $|\lambda| = \rho(A)$  的特征值  $\lambda$ , 对应 Jordan 块是对角的, 则存在一个算子范数满足

$$\|A\| = \rho(A).$$

### 1.4.3 扰动定理

一个矩阵不可逆的概率是很低的,<sup>1</sup>那如何度量矩阵的奇异性?

#### 定理 1.4.5: 扰动定理

给定扰动  $B$ , 若  $\|B\| < 1$ , 则  $I + B$  可逆且

$$\|(I + B)^{-1}\| \leq \frac{1}{1 - \|B\|}. \quad (1.27)$$

证明. 若  $I + B$  不可逆, 则  $\rho(B) \geq 1 > \|B\|$  矛盾. 记  $D := (I + B)^{-1}$ , 则

$$(I + B)D = I, \iff D = I - BD, \implies \|D\| \leq 1 + \|B\| \|D\|. \quad \square$$

#### 定理 1.4.6: 扰动定理 · 二

给定  $A, C$ , 若  $A$  非奇异且

$$\|C - A\| \leq \|A^{-1}\|^{-1},$$

则  $C$  也非奇异, 且

$$\|C^{-1}\| \leq \frac{1}{\|A^{-1}\|^{-1} - \|C - A\|}. \quad (1.28)$$

证明. 令  $B = I - A^{-1}C$  即可.  $\square$

<sup>1</sup>因为多了一个  $\det(A) = 0$  的限制条件.

## 第二章 函数插值和重构

**基本问题** 已知关于某函数  $f$  的一组信息，如何重构  $f$ ? 事实上，由于信息缺失，无法准确重构.

### 定义 2.0.1: 重构

给定函数空间  $X$  上的一组线性无关泛函  $\phi_1, \dots, \phi_n$ ,  $f \in X$  且  $\phi_i(f)$  已知，希望确定  $f^* \in Y \subset X$  满足：

$$\phi_i(f^*) = \phi_i(f), \quad i = 1, \dots, n. \quad (2.1)$$

$Y$  称为插值空间或重构空间， $\{\phi_i\}$  为信息泛函.

### 例 2.0.1: 采样空间的选择

- 多项式函数空间

$$\mathcal{P}_n = \{a_0 + a_1x + \dots + a_nx^n\},$$

- 样条函数 (spline) 空间：分段多项式函数；
- 三角多项式函数空间

$$\mathcal{Y}_n = \{a_0 + a_1 \cos x + b_1 \sin x + \dots + a_n \cos nx + b_n \sin nx\}.$$

## 2.1 一维多项式插值

### 2.1.1 Lagrange 插值

#### 定义 2.1.1: Lagrange 插值

插值空间  $Y$  由  $n+1$  个参数  $a_0, \dots, a_n$  标定，即

$$y = y(x; a_0, \dots, a_n).$$

给定一组插值节点 (采样点)  $x_i$  和采样值  $f_i = f(x_i)$ ，希望确定参数满足

$$y(x_i) = f(x_i), \quad \forall i \in I. \quad (2.2)$$

**定理 2.1.1: 多项式插值定理**

给定  $n+1$  个不同插值点  $x_0, \dots, x_n$ , 存在唯一的多项式函数  $p_n \in \mathcal{P}_n$  满足插值条件.

证明. 存在性: 采取直接构造的方法. 定义插值基函数  $\ell_i \in \mathcal{P}_n$ :

$$\ell_i(x) := \prod_{j \neq i} \frac{x - x_j}{x_i - x_j}. \quad (2.3)$$

易验证,  $\ell_i$  满足:

$$\ell_i(x_j) = \delta_{ij}. \quad (2.4)$$

故插值多项式为

$$p_n(x) = \sum_{i=0}^n f(x_i) \ell_i(x). \quad (2.5)$$

唯一性: 若还存在  $q_n \in \mathcal{P}_n$  满足插值条件, 则  $p_n - q_n \in \mathcal{P}_n$  且有  $x_0, \dots, x_n$  共  $n+1$  个零点, 故  $p_n - q_n \equiv 0$ .  $\square$

**定义 2.1.2: 余项**

定义插值函数  $p_n(x)$  与被插值函数  $f(x)$  之间的差为余项 (remainder)

$$R_n(x) := f(x) - p_n(x). \quad (2.6)$$

**定理 2.1.2: 中值定理与余项**

若  $f \in \mathcal{C}^{n+1}[a, b]$ , 则  $\forall x \in [a, b], \exists \xi(x) \in (a, b)$  使得

$$R_n(x) = \frac{f^{(n+1)}(\xi(x))}{(n+1)!} \prod_{i=0}^n (x - x_i). \quad (2.7)$$

证明. 当  $x = x_i$  时,  $R_n(x_i) = 0$  显然成立; 给定  $x \in [a, b]$  且  $x \neq x_i$ , 定义

$$g(t) := R_n(t) - \frac{\prod_{i=0}^n (t - x_i)}{\prod_{i=0}^n (x - x_i)} R_n(x),$$

则  $g \in \mathcal{C}^{n+1}[a, b]$  且在  $[a, b]$  上有  $x_0, \dots, x_n, x$  共  $n+2$  个零点, 在其划分的  $n+1$  个区间中应用 Rolle 定理: 对应存在  $\xi_1^{(1)}, \dots, \xi_{n+1}^{(1)}$  使得

$$g'(\xi_i^{(1)}) = 0, \quad i = 0, 1, \dots, n+1,$$

继续对  $\xi_0^{(1)}, \dots, \xi_{n+1}^{(1)}$  划分的  $n$  个区间上应用 Rolle 定理, 直到  $g^{(n+1)}(\xi_0^{(n+1)}) = 0$ :

$$g^{(n+1)}(\xi_0^{(n+1)}) = f^{(n+1)}(\xi_0^{(n+1)}) - \frac{(n+1)!}{\prod_{i=0}^n (x - x_i)} R_n(x) = 0.$$

取  $\xi = \xi_0^{(n+1)}$  即证.  $\square$

**推论.** 若  $f \in \mathcal{C}^{n+1}[a, b]$ ,  $h = \max(x_{i+1} - x_i)$  则

$$\|R_n\|_\infty \leq \frac{h^{n+1}}{4(n+1)} \|f^{(n+1)}\|_\infty. \quad (2.8)$$



### 2.1.2 Lagrange 插值的收敛性

当什么条件下,  $n \rightarrow \infty$ , 误差  $\|R_n\|_\infty \rightarrow 0$ ?

**定理 2.1.3: Lagrange 插值收敛性的一个充分条件**

若被插值函数的任意阶导数一致有界, 则误差收敛到 0.

#### 例 2.1.1

给定  $f(x) = \sin x$ ,  $x \in [0, \pi]$ , 由于  $\forall x \in [0, \pi]$

$$|f^{(n+1)}(x)| \leq 1, \quad \left| \prod_{i=0}^n (x - x_i) \right| \leq \pi^{n+1},$$

故

$$|R_n(x)| \leq \frac{\pi^{n+1}}{(n+1)!} \rightarrow 0,$$

说明 Lagrange 插值多项式  $p_n$  在  $[0, \pi]$  上一致收敛到  $f$ .

#### 例 2.1.2: Runge 现象

Runge 函数  $f(x) = \frac{1}{1+25x^2}$  在  $[-1, 1]$  上等距插值.

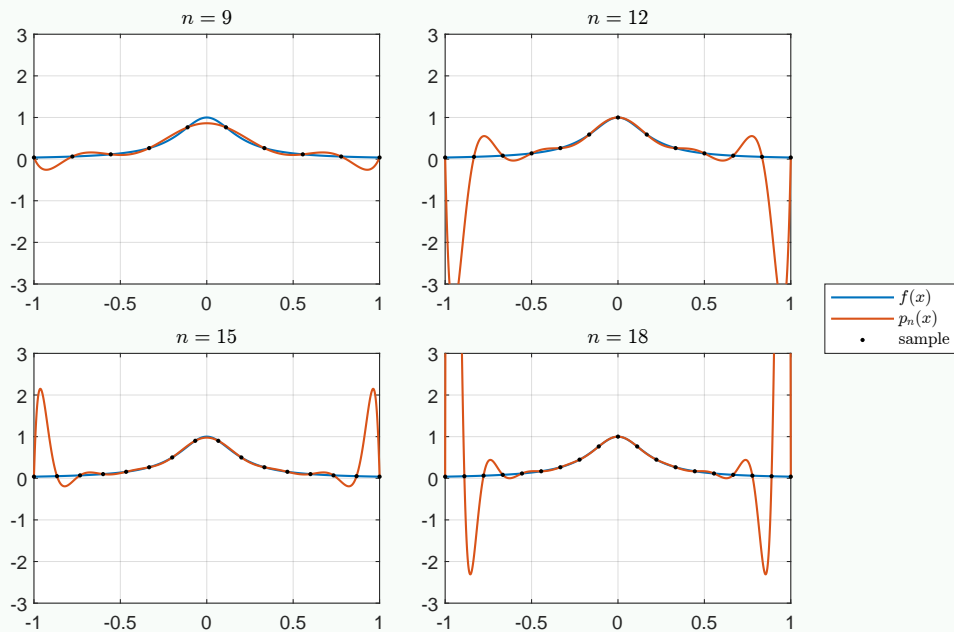


图 2.1: 等距插值 Runge 现象

显然  $f(x)$  在  $\mathbb{R}$  上是解析的, 但在  $\mathbb{C}$  上存在奇点  $\pm i/5$ .

改用  $n+1$  阶 Chebyshev 多项式零点

$$\cos\left(\frac{\pi}{2(n+1)}\right), \cos\left(\frac{3\pi}{2(n+1)}\right), \dots, \cos\left(\frac{(2n+1)\pi}{2(n+1)}\right),$$

作为插值节点, 可以消去 Runge 现象.

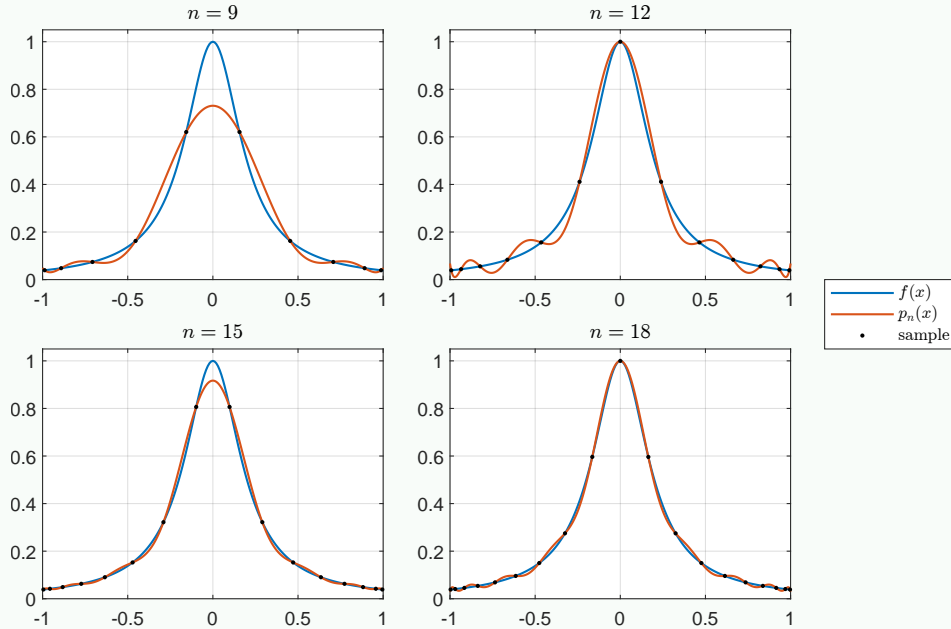


图 2.2: Chebyshev 多项式零点插值

### 2.1.3 Newton 插值公式

#### 定义 2.1.3: 均差

定义  $f$  在节点集  $i_0, i_1, \dots, i_k$  上的  $k$  阶均差 (divided differences) 递归地定义为:

$$f[x_{i_0}, \dots, x_{i_k}] := \frac{f[x_{i_1}, \dots, x_{i_k}] - f[x_{i_0}, \dots, x_{i_{k-1}}]}{x_{i_k} - x_{i_0}}. \quad (2.9)$$

特别地,  $f$  在  $x_i$  上的零阶均差  $f[x_i] := f(x_i)$ .

**推论.**  $k$  阶均差  $f[x_0, \dots, x_k]$  是  $f(x_0), \dots, f(x_k)$  的线性组合:

$$f[x_0, \dots, x_k] = \sum_{i=0}^k \frac{f(x_i)}{\prod_{j \neq i} (x_i - x_j)}. \quad (2.10)$$

因此, 均差对于节点是对称的, 即任意改变节点的顺序, 均差的值不变.

#### 定理 2.1.4: Newton 插值公式

利用均差迭代得到  $n$  次 Newton 插值多项式:

$$p_n(x) = f(x_0) + f[x_0, x_1](x - x_0) + \dots + f[x_0, \dots, x_n](x - x_0) \cdots (x - x_{n-1}). \quad (2.11)$$

其余项为

$$R_n(x) = f[x, x_0, \dots, x_n](x - x_0) \cdots (x - x_n). \quad (2.12)$$

对均差形式的余项应用定理 2.1.2 得到:

**定理 2.1.5: 中值定理与均差**

如果  $f \in C[a, b]$ ,  $x_0, \dots, x_n \in [a, b]$ , 则  $\exists \xi \in I(x_0, \dots, x_n)$ ,

$$f[x_0, \dots, x_n] = \frac{f^{(n)}(\xi)}{n!}. \quad (2.13)$$

**推论.** 特别地,  $n$  阶均差:

$$f[\underbrace{x, \dots, x}_{n+1}] = \frac{f^{(n)}(x)}{n!} \quad (2.14)$$

**推论.** 均差的导数:

$$\frac{d}{dx} f[x_0, \dots, x_n, x] = f[x_0, \dots, x_n, x, x]. \quad (2.15)$$

**定理 2.1.6: Neville 算法**

给定插值节点  $x_0, \dots, x_n$ , 定义  $p_{i,j} \in \mathcal{P}^{j-i}$  为满足节点  $x_i, \dots, x_j$  插值条件的多项式插值函数, 则递归地, 有  $p_{i,i}(x) \equiv f(x_i)$ ,

$$p_{i,j}(x) = \frac{(x - x_i)p_{i+1,j}(x) + (x_j - x)p_{i,j-1}(x)}{x_j - x_i}, \quad (2.16)$$

### 2.1.4 Hermite 插值

现推广 Lagrange 插值的概念: 除了要求插值函数在节点上相等外, 还要求在节点上的导数值相等.

**定义 2.1.4: Hermite 插值问题**

给定插值节点  $x_0 < x_1 < \dots < x_m$  及插值条件

$$(x_i, f^{(k)}(x_i)), \quad i = 0, 1, \dots, m, \quad k = 0, 1, \dots, n_i - 1$$

确定次数为  $n = \sum_{i=0}^m n_i - 1$  的多项式函数  $p \in \mathcal{P}_n$  满足插值条件.

**定理 2.1.7**

Hermite 插值问题的解存在且唯一.

证明. 定义拓展均差:

$$f[x_0, x_1, \dots, x_n] := \int_0^{t_0} \int_0^{t_1} \cdots \int_0^{t_{n-1}} f^{(n)}(t_n(x_n - x_{n-1}) + \cdots + t_1(x_1 - x_0) + t_0 x_0) dt_n \cdots dt_2 dt_1. \quad (2.17)$$

有递推式:

$$f[x_0, \dots, x_n] = \frac{f[x_0, \dots, x_{n-2}, x_n] - f[x_0, \dots, x_{n-1}]}{x_n - x_{n-1}}. \quad (2.18)$$

即证.  $\square$

### 例 2.1.3: 均差表

给定  $f(a), f'(a), f(b), f'(b)$ , 则插值函数

$$p_3(x) = f(a) + f[a, a](x - a) + f[a, a, b](x - a)^2 + f[a, a, b, b](x - a)^2(x - b).$$

计算到  $f[a, a, b, b]$ , 给出均差表:

0	1	2	3
$f(a)$	$f[a, a] = f'(a)$	$f[a, a, b] = \frac{f[a, b] - f[a, a]}{b - a}$	$f[a, a, b, b] = \cdots$
$f(a)$	$f[a, b] = \frac{f(b) - f(a)}{b - a}$	$f[a, b, b] = \frac{f[b, b] - f[a, b]}{b - a}$	
$f(b)$	$f[b, b] = f'(b)$		

## 2.2 分段插值

### 2.2.1 分段线性插值

#### 定义 2.2.1: 分段线性插值

给定节点  $a = x_0 < x_1 < \cdots < x_n = b$  及  $f(x_i)$ , 求插值函数  $\varphi$  满足:

- $\varphi \in \mathcal{C}[a, b]$  是连续函数;
- $[x_i, x_{i+1}]$  上  $\varphi \in \mathcal{P}_1$  是线性函数;
- $\varphi(x_i) = f(x_i)$ .

满足前两个性质的函数组成插值空间  $\Phi$ , 且  $\dim(\Phi) = n + 1$ .

#### 定理 2.2.1

分段线性插值函数是存在且唯一的.

证明. 定义插值基函数

$$I_i(x) = \begin{cases} \frac{x - x_{i-1}}{x_i - x_{i-1}}, & x \in [x_{i-1}, x_i] \\ \frac{x_{i+1} - x}{x_{i+1} - x_i}, & x \in [x_i, x_{i+1}] \\ 0, & \text{otherwise} \end{cases} \quad (2.19)$$

则

$$\varphi(x) = \sum_{i=0}^n f(x_i) I_i(x). \quad (2.20)$$

□

### 定理 2.2.2: 误差收敛性

定义  $h := \max_i (x_i - x_{i-1})$ ,

- 如果  $f \in \mathcal{C}[a, b]$ , 则  $\lim_{h \rightarrow 0} \|f - \varphi\|_\infty = 0$ ;
- 如果  $f \in \mathcal{C}^1[a, b]$ , 则  $\|f - \varphi\|_\infty \leq 2h \|f'\|_\infty$ ;
- 如果  $f \in \mathcal{C}^2[a, b]$ , 则  $\|f - \varphi\|_\infty \leq h^2/8 \cdot \|f''\|_\infty$ .

### 2.2.2 分段三次 Hermite 插值

#### 定义 2.2.2: 分段三次 Hermite 插值

给定节点  $a = x_0 < x_1 < \cdots < x_n = b$  及  $f(x_i), f'(x_i)$ , 求插值函数  $\varphi$  满足:

- $\varphi \in \mathcal{C}^1[a, b]$  连续可导 (即  $\varphi'$  也连续);
- $[x_i, x_{i+1}]$  上  $\varphi \in \mathcal{P}_3$  是三次多项式函数;
- $\varphi(x_i) = f(x_i), \varphi'(x_i) = f'(x_i)$ .

满足前两个性质的函数组成插值空间  $\Phi$ , 且  $\dim(\Phi) = 2n + 2$ .

定义插值基函数, 在  $[x_i, x_{i+1}]$  上

$$\alpha_i(x) = \left(1 + 2 \frac{x - x_i}{x_{i+1} - x_i}\right) \left(\frac{x - x_{i+1}}{x_i - x_{i+1}}\right)^2, \quad (2.21a)$$

$$\alpha_{i+1}(x) = \left(1 + 2 \frac{x - x_{i+1}}{x_i - x_{i+1}}\right) \left(\frac{x - x_i}{x_{i+1} - x_i}\right)^2, \quad (2.21b)$$

$$\beta_i(x) = (x - x_i) \left(\frac{x - x_{i+1}}{x_i - x_{i+1}}\right)^2, \quad (2.21c)$$

$$\beta_{i+1}(x) = (x - x_{i+1}) \left(\frac{x - x_i}{x_{i+1} - x_i}\right)^2, \quad (2.21d)$$

满足

$$\alpha_i(x_j) = \delta_{ij}, \quad \alpha'_i(x_j) = 0, \quad (2.22a)$$

$$\beta_i(x_j) = 0, \quad \beta'_i(x_j) = \delta_{ij}. \quad (2.22b)$$

则

$$\varphi(x) = \sum_{i=1}^n f(x_i) \alpha_i(x) + f'(x) \beta_i(x). \quad (2.23)$$

## 2.3 Fourier 插值

### 定义 2.3.1: Fourier 级数

周期函数展开成 Fourier 级数

$$f(x) \sim \frac{a_0}{2} + \sum_{n=1}^{\infty} [a_n \cos(nx) + b_n \sin(nx)]. \quad (2.24)$$

其中

$$a_n = \frac{1}{\pi} \int_0^{2\pi} f(x) \cos(nx) dx, \quad (2.25a)$$

$$b_n = \frac{1}{\pi} \int_0^{2\pi} f(x) \sin(nx) dx. \quad (2.25b)$$

如果  $f \in \mathcal{C}^M$ , 则  $a_n = \mathcal{O}(n^{-M})$ ,  $b_n = \mathcal{O}(n^{-M})$ , 且

$$\left\| f(x) - \left[ \frac{a_0}{2} + \sum_{n=1}^N [a_n \cos(nx) + b_n \sin(nx)] \right] \right\|_{\infty} = \mathcal{O}(N^{-M}).$$

### 定义 2.3.2: 三角多项式插值

给定周期为  $2\pi$  的函数  $f$  在节点  $x_i = 2\pi i/N$  的值, 希望重构函数  $\psi$  满足  $\psi(x_i) = f(x_i)$ .

寻找相多项式

$$p(x) = \beta_0 + \beta_1 e^{ix} + \cdots + \beta_{N-1} e^{i(N-1)x}. \quad (2.26)$$

### 定理 2.3.1: Fourier 插值

存在唯一的相多项式满足 Lagrange 插值条件且

$$\beta_j = \frac{1}{N} \sum_{k=1}^{N-1} f(x_k) \omega^{-kj}, \quad \omega = e^{2\pi i/N}. \quad (2.27)$$

对应三角多项式为

$$A_j = \frac{2}{N} \sum_{k=0}^{N-1} f(x_k) \cos\left(\frac{2\pi kj}{N}\right), \quad (2.28a)$$

$$B_j = \frac{2}{N} \sum_{k=0}^{N-1} f(x_k) \sin\left(\frac{2\pi kj}{N}\right), \quad (2.28b)$$

## 第三章 函数逼近

### 定义 3.0.1: 函数逼近

给定函数  $f \in C[a, b]$  和子集  $\Phi \subset C[a, b]$  (如多项式函数), 寻找最佳逼近:

$$\varphi^* = \arg \min_{\varphi \in \Phi} \|f - \varphi\|. \quad (3.1)$$

注.

- $\Phi$  一般是简单函数集合, 如多项式函数. 但  $\Phi$  未必是线性空间.
- $f \notin \Phi$ , 且关于  $f$  的信息可能有误差;
- 近似程度的度量: 平方 (squares) 逼近  $\|\cdot\|_2$  和一致 (uniform) 逼近  $\|\cdot\|_\infty$ .

### 3.1 最佳平方逼近

#### 3.1.1 法方程

最佳平方逼近中,  $\|\cdot\|_2$  是由  $C[a, b]$  的某个内积  $\langle \cdot, \cdot \rangle$  诱导出的范数:

$$\|f\|_2 := \sqrt{\langle f, f \rangle}.$$

给定  $\Phi$  的一组基  $\varphi_0, \dots, \varphi_n$ , 则

$$\varphi = \sum_{i=0}^n a_i \varphi_i,$$

实函数情况, 简单计算得到

$$\|f - \varphi\|_2^2 = \sum_{i,j=0}^n \langle \varphi_i, \varphi_j \rangle a_i a_j - 2 \sum_{i=0}^n \langle \varphi_i, f \rangle a_i + \langle f, f \rangle.$$

是一个关于  $a_0, \dots, a_n$  的二次函数, 故 Hess 矩阵

$$\nabla^2 \|f - \varphi\|_2^2 = 2 \begin{bmatrix} \langle \varphi_0, \varphi_0 \rangle & \cdots & \langle \varphi_0, \varphi_n \rangle \\ \vdots & \ddots & \vdots \\ \langle \varphi_n, \varphi_0 \rangle & \cdots & \langle \varphi_n, \varphi_n \rangle \end{bmatrix} \quad (3.2)$$

为对称正定矩阵, 因而  $\|f - \varphi\|_2^2$  有最小值. 由

$$\frac{\partial}{\partial a_i} \|f - \varphi\|_2^2 = 2 \left[ \sum_{j=0}^n \langle \varphi_i, \varphi_j \rangle a_j - \langle \varphi_i, f \rangle \right] = 0,$$

得到

## 定理 3.1.1: 法方程

$$\begin{bmatrix} \langle \varphi_0, \varphi_0 \rangle & \cdots & \langle \varphi_0, \varphi_n \rangle \\ \vdots & \ddots & \vdots \\ \langle \varphi_n, \varphi_0 \rangle & \cdots & \langle \varphi_n, \varphi_n \rangle \end{bmatrix} \begin{bmatrix} a_0 \\ \vdots \\ a_n \end{bmatrix} = \begin{bmatrix} \langle \varphi_0, f \rangle \\ \vdots \\ \langle \varphi_n, f \rangle \end{bmatrix}. \quad (3.3)$$

注. 最佳平方逼近  $\varphi^*$  满足  $f - \varphi^* \perp \Phi$ , 有

$$\|f\|_2^2 = \|\varphi^*\|_2^2 + \|f - \varphi^*\|_2^2. \quad (3.4)$$

## 例 3.1.1

给定  $\Phi = \text{span}(1, x^2)$ , 求  $f = x$  在  $[0, 1]$  上的最佳平方逼近.

$$\begin{bmatrix} \langle 1, 1 \rangle & \langle 1, x^2 \rangle \\ \langle x^2, 1 \rangle & \langle x^2, x^2 \rangle \end{bmatrix} \begin{bmatrix} a \\ b \end{bmatrix} = \begin{bmatrix} \langle 1, x \rangle \\ \langle x^2, x \rangle \end{bmatrix}$$

解得  $\varphi^*(x) = a + bx^2$  的系数

$$\begin{bmatrix} a \\ b \end{bmatrix} = \begin{bmatrix} 1 & 1/3 \\ 1/3 & 1/5 \end{bmatrix}^{-1} \begin{bmatrix} 1/2 \\ 1/4 \end{bmatrix} = \begin{bmatrix} 3/16 \\ 15/16 \end{bmatrix}.$$

## 3.1.2 正交多项式

## 定义 3.1.1: Hilbert 矩阵

考虑  $f \in C[0, 1]$  在  $\mathcal{P}_n$  上的最佳平方逼近,  $1, x, \dots, x^n$  作为基, 法方程的系数矩阵为 Hilbert 矩阵

$$H_n := \begin{bmatrix} 1 & 1/2 & \cdots & 1/(n+1) \\ 1/2 & 1/3 & \cdots & 1/(n+2) \\ \vdots & \vdots & \ddots & \vdots \\ 1/(n+1) & 1/(n+2) & \cdots & 1/(2n+1) \end{bmatrix} \quad (3.5)$$

这个矩阵是严重病态的.

注. 解决方法: 将  $\mathcal{P}_n$  的基改进为正交基  $\varphi_0, \dots, \varphi_n$ , 即

$$\langle \varphi_i, \varphi_j \rangle = \|\varphi_i\|_2^2 \delta_{ij},$$

则系数矩阵是对角的,

$$\varphi^* = \sum_{i=0}^n \frac{\langle f, \varphi_i \rangle}{\|\varphi_i\|_2^2} \varphi_i. \quad (3.6)$$



**定义 3.1.2: 广义 Fourier 级数**

给定  $C[a, b]$  上的一组正交归一函数  $\varphi_0, \varphi_1, \dots$ ,  $f$  在  $\Phi_n := \text{span}(\varphi_0, \dots, \varphi_n)$  中的最佳平方逼近为

$$f_n = \sum_{i=0}^n a_i \varphi_i, \quad a_i := \langle f, \varphi_i \rangle,$$

由于

$$\sum_{i=0}^n |a_i|^2 = \|f_n\|_2^2 \leq \|f\|_2^2, \implies \sum_{i=0}^{\infty} |a_i|^2 < \infty,$$

故  $f_\infty$  收敛且  $f_\infty \in \overline{\langle C[a, b], \|\cdot\|_2 \rangle}$ , 称为广义 Fourier 级数.

注. 若  $\|\cdot\|_2$  是权系数  $\rho$  的内积  $\langle \cdot, \cdot \rangle_\rho$  诱导的范数, 则

$$\overline{\langle C[a, b], \|\cdot\|_2 \rangle} = \mathcal{L}_\rho^2[a, b] \quad (3.7)$$

**定理 3.1.2**

给定有界闭区间  $[a, b]$ , 若  $f \in C[a, b]$  在  $\mathcal{P}_n$  上的最佳平方逼近为  $f_n$ , 则

$$\lim_{n \rightarrow \infty} \|f - f_n\|_2 = 0. \quad (3.8)$$

这说明多项式函数是完备的.

**定理 3.1.3: Legendre 多项式作最佳平方逼近**

若内积为  $[-1, 1]$  上的  $\rho \equiv 1$  内积, 若  $f \in C^2[-1, 1]$ , 则  $\forall \epsilon > 0$ ,  $\exists N > 0$  使得  $\forall n \geq N$

$$\|f - f_n\|_\infty \leq \frac{\epsilon}{\sqrt{n}}. \quad (3.9)$$

**定理 3.1.4: 零平方误差最小**

在所有首项系数为 1 的  $n$  次多项式中, Legendre 多项式  $P_n(x)$  在  $[-1, 1]$  与 0 的平方误差最小.

证明.  $\forall f \in \mathcal{P}_n$  且首项系数为 1, 有

$$f = P_n + a_{n-1}P_{n-1} + \dots + a_0P_0,$$

则

$$\|f\|_2^2 = \|P_n\|_2^2 + |a_{n-1}|^2 \|P_{n-1}\|_2^2 + \dots + |a_0|^2 \|P_0\|_2^2 \geq \|P_n\|_2^2. \quad \square$$

## 3.2 最小二乘法

给定  $\Phi = \text{span}\{\varphi_0, \dots, \varphi_n\}$

**定义 3.2.1: Haar 条件**

$\forall \varphi_i \in \Phi$  且  $\varphi_i \neq 0$  在  $x_0, \dots, x_m$  上不同时为 0, 则称  $\Phi$  满足 Haar 条件.

**例 3.2.1**

若  $m \geq n$ , 则  $\mathcal{P}_n$  在  $x_0, \dots, x_m$  上满足 Haar 条件.

**3.3 最佳一致逼近**

考虑用多项式函数进行最佳一致逼近:

$$\varphi^* = \arg \inf_{\varphi \in \mathcal{P}_n} \|f - \varphi\|_{\infty}. \quad (3.10)$$

**定义 3.3.1**

称  $\|f - p_n\|_{\infty}$  为  $p_n$  关于  $f$  的偏差. 若  $\exists x$  使得

$$f(x) - p_n(x) = \pm \|f - p_n\|_{\infty}. \quad (3.11)$$

则称  $x$  为  $p_n$  关于  $f$  的正 (负) 偏差点.

**定理 3.3.1: 最佳一致逼近的存在性**

$\mathcal{P}_n$  关于  $f \in C[a, b]$  的最小偏差可以达到.

证明. 记  $\varphi(f, p_n) = \|f - p_n\|_{\infty}$ , 则  $\varphi(f, \cdot)$  是关于  $p_n$  系数  $a_0, \dots, a_n$  的连续函数, 且  $\varphi(0; p_n)$  在单位球面  $a_0^2 + \dots + a_n^2 = 1$  上达到正最小值  $\mu$ .

$$\|f - p_n\|_{\infty} \geq \|p_n\|_{\infty} - \|f\|_{\infty} \geq \mu \sqrt{\sum_{i=0}^n a_i^2} - \|f\|_{\infty}.$$

当

$$\sum_{i=0}^n a_i^2 \geq \frac{4}{\mu^2} \|f\|_{\infty}^2$$

时,  $\|f - p_n\|_{\infty} \geq \|f\|_{\infty}$ , 故最佳一致逼近存在.  $\square$

**引理.** 最佳一致逼近多项式  $p_n^*$  关于  $f$  的正负偏差点同时存在.

**定义 3.3.2: Chebyshev 交错点**

若  $x_1, \dots, x_m$  是  $p_n$  关于  $f$  的偏差点且轮流为正负, 则称其为一组 Chebyshev 交错点.

**定理 3.3.2**

$p_n^*$  是  $f$  的最佳一致逼近多项式  $\iff$  存在  $n+2$  个 Chebyshev 交错点.

**推论.** 最佳一致逼近多项式是一个 Lagrange 插值多项式, 其插值点在  $(a, b)$  内.

**定理 3.3.3: 最佳一致逼近的唯一性**

最佳一致逼近多项式是唯一的.

**定理 3.3.4: 零偏差最小**

在所有首项系数为 1 的  $n$  次多项式中, Chebyshev 多项式  $T_n(x)$  在  $[-1, 1]$  与 0 的偏差最小.

**例 3.3.1: 最佳一次一致逼近多项式的求法**

给定  $f \in C^2[a, b]$  且  $f''(x) \neq 0$ , 求  $f$  的最佳一次一致逼近多项式  $g = a_0 + a_1x$ .  
由  $f''$  恒正或恒负可知  $f - g$  在  $(a, b)$  上的极值点是唯一的, 记作  $x^*$ ,

$$f'(x^*) - g'(x^*) = 0,$$

且  $\{a, x^*, b\}$  是一组 Chebyshev 交错点, 故

$$f(a) - g(a) = -[f(x^*) - g(x^*)] = f(b) - g(b)$$

可确定  $a_1, x^*, a_0$ :

$$\begin{cases} a_1 = \frac{f(b) - f(a)}{b - a}, \\ x^* = f'^{-1}(a_0), \\ a_0 = \frac{1}{2}[f(a) + f(x^*) - a_1(a + x^*)] \end{cases}$$

## 第四章 数值积分

给定函数  $f \in \mathcal{C}[a, b]$  和权函数  $\rho(x)$ , 计算积分

$$I(f) \equiv \int_a^b f(x)\rho(x) dx, \quad (4.1)$$

但很多情况下, 我们只知道关于  $f$  的部分信息, 不能用 Newton-Leibniz 公式. 因此我们希望构造一种不依赖于  $f$  具体表达式的近似积分方法.

### 定义 4.0.1: 数值积分

给定系列积分节点  $x_0, \dots, x_n$ , 数值积分  $\tilde{I}(f)$  一般具有如下形式:

$$\tilde{I}(f) = \sum_{k=0}^n A_k f(x_k). \quad (4.2)$$

其中  $A_k$  称为求积系数. 积分方法  $\tilde{I}$  的误差为

$$E(f) := I(f) - \tilde{I}(f). \quad (4.3)$$

给定一种积分方法  $\tilde{I}$ , 如何评价其优劣?

### 定义 4.0.2: 代数精确度

给定积分法  $\tilde{I}$ , 若  $\forall f \in \mathcal{P}_n$  均有  $E(f) = 0$ ; 但  $\exists f \in \mathcal{P}_{n+1}$  使得  $E(f) \neq 0$ , 则  $\tilde{I}$  的代数精确度为  $n$ .

### 定义 4.0.3: 插值型求积公式

给定系列插值节点  $x_0 < x_1 < \dots < x_n$ , 由式 (2.5), 函数  $f$  的  $n$  次插值多项式为

$$p_n(x) = \sum_{i=0}^n f(x_i) \ell_i(x) \approx f(x),$$

选定

$$I_n(f) \equiv I(p_n) = \sum_{i=0}^n I(\ell_i) f(x_i) \equiv \sum_{i=0}^n A_i^{(n)} f(x_i), \quad (4.4)$$

其中  $A_k^{(n)}$  与  $f$  无关, 称为求积系数.

## 4.1 Newton-Cotes 公式

考虑  $\rho \equiv 1$  的情形.

### 4.1.1 闭型 Newton-Cotes 公式

**定理 4.1.1:** (闭型) Newton-Cotes 公式

取等距节点  $a = x_0 < x_1 < \cdots < x_n = b$ , 节点间距  $h := (b - a)/n$ , 有

$$I_n(f) = (b - a) \sum_{k=0}^n C_k^{(n)} f(x_k), \quad (4.5)$$

其中  $C_k^{(n)}$  称为求积 Cotes 系数, 由式 (2.3)

$$C_k^{(n)} = \frac{(-1)^{n-k}}{k!(n-k)!} \frac{1}{n} \int_0^n \prod_{j \neq k} (t - j) dt. \quad (4.6)$$

注. Cotes 系数不但与  $f$  无关, 也与积分区间  $[a, b]$  无关. 且  $C_k^{(n)} = C_{n-k}^{(n)}$ .

**例 4.1.1:** 前几个 Cotes 系数

$n$	$C_k^{(n)}$				
1	1	1			/2
2	1	4	1		/6
3	1	3	3	1	/8
4	7	32	12	12	7 /90

**例 4.1.2:**  $n = 1$ : 梯形公式

$n = 1$  时, 只有  $a, b$  两个求积节点, 得到梯形公式 (trapezoidal)

$$I_1(f) = \frac{b-a}{2} [f(a) + f(b)]. \quad (4.7)$$

若  $f \in C^2[a, b]$ , 则  $\exists \xi \in [a, b]$ , 积分误差

$$E_1(f) = -\frac{h^3}{12} f''(\xi). \quad (4.8)$$

梯形公式的代数精确度为 1.

**例 4.1.3:  $n = 2$ : Simpson 公式**

$n = 2$  时, 有  $a, x_1 = (a + b)/2, b$  三个求积节点, 得到 Simpson 公式:

$$I_2(f) = \frac{b-a}{6} \left[ f(a) + 4f\left(\frac{a+b}{2}\right) + f(b) \right]. \quad (4.9)$$

若  $f \in C^4[a, b]$ , 则  $\exists \xi \in [a, b]$ , 积分误差

$$E_2(f) = -\frac{h^5}{90} f^{(4)}(\xi). \quad (4.10)$$

Simpson 公式的代数精确度为 3.

注.  $n = 3$  时称为 Simpson 3/8 公式

$$E_3(f) = -\frac{3h^5}{80} f^{(4)}(\xi),$$

$n = 4$  时称为 Boole 公式或 Cotes 公式

$$E_4(f) = -\frac{8h^7}{945} f^{(6)}(\xi).$$

**定理 4.1.2: Newton-Cotes 公式的代数精确度**

当  $n$  为奇数时, 代数精确度为  $n + 1$ ; 当  $n$  为偶数时, 代数精确度为  $n$ .

**4.1.2 开型 Newton-Cotes 公式****定理 4.1.3: 开型 Newton-Cotes 公式**

取等距节点  $a = x_{-1} < x_0 < \dots < x_n < x_{n+1} = b$ , 以  $x_0, \dots, x_n$  为插值节点.

**例 4.1.4:  $n = 0$ : 中点公式**

$n = 0$  的开型 Newton-Cotes 公式称为中点公式:

$$I_0 = (b-a) f\left(\frac{a+b}{2}\right). \quad (4.11)$$

若  $f \in C^2[a, b]$ , 则  $\exists \xi \in [a, b]$ , 积分误差

$$E_0(f) = \frac{h^3}{3} f''(\xi). \quad (4.12)$$

注. 一般来说, 闭型 Newton-Cotes 公式的结果比相应的开型 Newton-Cotes 公式的结果要好.

**4.1.3 积分法的一致稳定性**

由于积分节点  $f(x_i)$  可能存在误差, 需要考虑随着渐进参数  $n$  的增大, 积分法的稳定性.

## 定义 4.1.1: 一致稳定

对于线性积分方法  $\tilde{I}_n$ , 若  $\forall n \in \mathbb{N}$ ,  $\exists M > 0$  使得

$$\sum_{k=0}^n |A_k^{(n)}| < M, \quad (4.13)$$

则称  $\tilde{I}_n$  是一致稳定的.

推论. 若  $\|f - g\|_\infty \leq \delta$ , 且  $\tilde{I}_n$  一致稳定, 则

$$|\tilde{I}_n(f) - \tilde{I}_n(g)| = |\tilde{I}_n(f - g)| \leq \sum_{k=0}^n |A_k^{(n)}| \|f - g\|_\infty \leq M\delta.$$

## 定理 4.1.4: 一致稳定的判定

若  $\forall n, k$  均有  $A_k^{(n)} > 0$  且  $\tilde{I}_n$  的代数精确度至少为 0, 则  $\tilde{I}_n$  一致稳定.

注.  $n \geq 8$  时, Newton-Catos 积分法存在  $A_k^{(n)} < 0$ , 故不是一致稳定的.

## 4.2 复合求积公式

对于一些函数  $f$  来说, 低阶 Newton-Catos 公式很不准确, 而高阶又存在数值不稳定问题. 为此需要新的求积方法, 一种思路是利用积分运算关于测度的可加性, 将积分区间分成若干小的区间进行分片求积.

## 定义 4.2.1: 复合求积公式

将积分区间  $[a, b]$  划分成若干子区间, 再在每个子区间上采用低阶 Newton-Catos 公式.

## 例 4.2.1: 复合梯形公式

取节点  $a = x_0 < x_1 < \dots < x_n = b$ , 子区间为  $[x_k, x_{k+1}]$ , 区间间隔  $h_k = x_{k+1} - x_k$ , 对每个子区间套用梯形积分公式 (4.7), 得到复合梯形公式为:

$$\begin{aligned} T_n(f) &= \sum_{k=0}^{n-1} \frac{h_k}{2} [f(x_k) + f(x_{k+1})] \\ &= \frac{h_0}{2} f(x_0) + \frac{h_0 + h_1}{2} f(x_1) + \dots + \frac{h_{n-2} + h_{n-1}}{2} f(x_{n-1}) + \frac{h_{n-1}}{2} f(x_n). \end{aligned} \quad (4.14)$$

由式 (4.8) 和中值定理知,  $\exists \xi_k \in [x_k, x_{k+1}], \eta \in [a, b]$  使得

$$E_n(f) = -\frac{1}{12} \sum_{k=0}^{n-1} h_k^3 f''(\xi_k) = -\frac{1}{12} \sum_{k=0}^{n-1} h_k^3 f''(\eta), \quad (4.15)$$

当等距均分时,  $h_0 = h_1 = \dots = h_{n-1} = h = (b - a)/n$ , 有

$$E_n(f) = -\frac{b-a}{12} h^2 f''(\eta). \quad (4.16)$$

**例 4.2.2: 复合中点公式**

对每个子区间套用中点积分公式 (4.11), 得到复合中点公式为:

$$H_n(f) = \sum_{k=0}^{n-1} h_k f(x_{k+1/2}), \quad x_{k+1/2} := \frac{x_k + x_{k+1}}{2}. \quad (4.17)$$

**推论.** 考虑每个子区间上增加一个节点  $x_{k+1/2}$ , 得到递推公式:

$$T_{2n}(f) = \frac{T_n(f) + H_n(f)}{2}. \quad (4.18)$$

**例 4.2.3: 复合 Simpson 公式**

对每个子区间套用 Simpson 积分公式 (4.9), 得到复合 Simpson 公式为:

$$S_{2n}(f) = \sum_{k=0}^{n-1} \frac{h_k}{6} [f(x_k) + 4f(x_{k+1/2}) + f(x_{k+1})]. \quad (4.19)$$

若最大区间长度  $h := \max_k h_k$ , 则  $\exists \eta \in [a, b]$  使得

$$|E_{2n}(f)| \leq \frac{b-a}{2880} h^4 f^{(4)}(\eta). \quad (4.20)$$

**注.** 复合梯形公式、复合中点公式、复合 Simpson 公式都是一致稳定的.

**推论.** 递推关系:

$$S_{2n}(f) = \frac{T_n(f) + 2H_n(f)}{3} = \frac{4T_{2n}(f) - T_n(f)}{3}. \quad (4.21)$$

## 4.3 Romberg 求积方法

### 4.3.1 Euler-Maclaurin 求积公式

**定义 4.3.1: Bernoulli 多项式**

Bernoulli 多项式递归定义:  $B_0(x) = 1$ ,

$$B_k(x) = k \int_0^x B_{k-1}(t) dt - k \int_0^1 \int_0^x B_{k-1}(t) dt dx \quad (4.22)$$

Bernoulli 数  $B_k := B_k(0)$ .

**例 4.3.1: 前几个 Bernoulli 多项式**

$$\begin{aligned} B_1(x) &= x - \frac{1}{2}, & B_2(x) &= x^2 - x + \frac{1}{6}, \\ B_3(x) &= x^3 - \frac{3}{2}x^2 + \frac{1}{2}x, & B_4(x) &= x^4 - 2x^3 + x^2 - \frac{1}{30}, \\ B_5(x) &= x^5 - \frac{5}{2}x^4 + \frac{5}{3}x^3 - \frac{1}{6}x, & B_6(x) &= x^6 - 3x^5 + \frac{5}{2}x^4 - \frac{1}{2}x^2 + \frac{1}{42}. \end{aligned}$$



**定理 4.3.1: Euler-Maclaurin 求积公式**

若  $f \in C^{2m+2}[a, b]$ , 则有

$$I(f) = T_n(f) + \sum_{\ell=1}^m \frac{B_{2\ell}}{(2\ell)!} [f^{(2\ell-1)}(a) - f^{(2\ell-1)}(b)] h^{2\ell} + r_{m+1}, \quad (4.23)$$

其中  $T_n$  是复合梯形公式,

$$r_{m+1} = -\frac{B_{2m+2}}{(2m+2)!} (b-a) f^{(2m+2)}(\eta) h^{2m+2}, \quad \exists \eta \in (a, b). \quad (4.24)$$

**4.3.2 Richardson 外推方法**

由 Euler-Maclaurin 求积公式, 考虑复合梯形公式关于  $h < 1$  的渐进级数

$$T_n(f) = I(f) + \tau_1 h^2 + \tau_2 h^4 + \cdots + \tau_m h^{2m} + \mathcal{O}(h^{2m+2}).$$

当区间无限小时,  $h \rightarrow 0$ ,  $T_n(f) \rightarrow I(f)$  是准确积分. 为了得到  $I(f)$  的一个近似, 考虑

$$h_i = \frac{b-a}{n_i}, \quad i = 0, 1, \dots$$

且  $n_0 < n_1 < \cdots < n_m < \cdots$ , 记关于  $h^2$  的插值多项式  $p_{i,j} \in \mathcal{P}^{j-i}$  满足插值条件:

$$p_{i,j}(h_i) = T_{n_i}(f), \quad p_{i,j}(h_{i+1}) = T_{n_{i+1}}(f), \quad \dots, \quad p_{i,j}(h_j) = T_{n_j}(f),$$

由 Neville 算法 (2.16), 有递推关系:  $p_{i,i}(h) = T_{n_i}(f)$ ,

$$p_{i,j}(h) = \frac{(h^2 - h_i^2)p_{i+1,j}(h) + (h_j^2 - h^2)p_{i,j-1}(h)}{h_j^2 - h_i^2},$$

**定理 4.3.2: Richardson 外推方法**

将外推值  $p_{0,i}(0)$  作为  $I(f)$  的一个近似, 记  $T_{i,j} := p_{i,j}(0)$ , 有递推关系

$$T_{i,j} = T_{i+1,j} + \frac{T_{i+1,j} - T_{i,j-1}}{n_j^2/n_i^2 - 1}. \quad (4.25)$$

**4.3.3 Romberg 求积方法****定理 4.3.3: Romberg 求积方法**

对区间  $[a, b]$  进行  $n_k = 2^k$  等分 ( $k = 0, 1, \dots$ ), 利用复合梯形公式计算  $T_1^k$ , 再递推

$$T_{i+1}^k = \frac{4^i T_i^{k+1} - T_i^k}{4^i - 1}. \quad (4.26)$$

直到  $T_{i+1}^0$  满足精度要求.

特别地,  $T_1^0$  为梯形公式,  $T_2^k$  为复合 Simpson 公式.

## 4.4 Gauss 求积公式

考虑一般的带权积分  $\rho \neq 1$ .

### 定理 4.4.1

给定插值节点  $x_0, \dots, x_n$ ,  $\ell_0, \dots, \ell_n$  是插值基函数, 则当且仅当

$$A_k^{(n)} = I(\ell_k) = \int_a^b \ell_k(x) \rho(x) dx$$

时  $I_n(\cdot)$  的代数精确度至少为  $n$ .

证明. 充分性:  $\forall f \in \mathcal{P}_n$ , 有

$$f(x) = \sum_{k=0}^n f(x_k) \ell_k(x),$$

于是

$$I(f) = \sum_{k=0}^n f(x_k) I(\ell_k) = \sum_{k=0}^n A_k^{(n)} f(x_k) = I_n(f);$$

必要性: 若  $\forall f \in \mathcal{P}_n$  均有  $I(f) = I_n(f)$ , 则

$$I(f) - I_n(f) = \sum_{k=0}^n [I(\ell_k) - A_k^{(n)}] f(x_k) = 0,$$

特别地, 取  $f(x) = 1, x, \dots, x^n$ , 得到一个 Vandermonde 矩阵, 从而  $A_k^{(n)} = I(\ell_k)$ .  $\square$

### 定理 4.4.2

$n+1$  个求积节点的求积公式  $I_n(\cdot)$  代数精确度不超过  $2n+1$ .

证明. 给定节点  $x_0, \dots, x_n$  定义

$$\omega_{n+1}(x) := \prod_{k=0}^n (x - x_k),$$

则  $I(\omega_{n+1}^2) > 0 = I_n(\omega_{n+1}^2)$ , 说明代数精确度  $< 2n+2$ .  $\square$

如何达到最大可能代数精确度 由 (2.7), 余项

$$R_n(x) = \frac{f^{(n+1)}(\xi(x))}{(n+1)!} \omega_{n+1}(x).$$

故积分误差为

$$E_n(f) = \frac{1}{(n+1)!} I(f^{(n+1)}(\xi(x)) \omega_{n+1}(x)).$$

若  $I_n$  具有  $2n+1$  次代数精确度, 即  $\forall f \in \mathcal{P}_{2n+1}$  均有  $E_n(f) = 0$ , 由于  $f^{(n+1)} \in \mathcal{P}_n$ , 故

$$\omega_{n+1} \perp \mathcal{P}_n. \quad (4.27)$$

即  $\omega_{n+1}$  为  $[a, b]$  上权  $\rho$  的  $n+1$  次正交多项式, 这可以通过选取节点得到.

## 定理 4.4.3: Gauss 求积公式

取  $[a, b]$  上权  $\rho$  的  $n+1$  次正交多项式的根  $x_0, \dots, x_n$  作为求积节点, 则

$$I_n(f) = \sum_{k=0}^n I(\ell_k) f(x_k),$$

具有  $2n+1$  阶代数精确度, 称为 Gauss 公式, 节点称为 Gauss 点.

## 定理 4.4.4

Gauss 求积公式是一致稳定的.

证明. 略

□

## 第五章 线性代数方程组的直接解法

求解线性代数方程组  $Ax = b$ :

$$\begin{bmatrix} a_{11} & \cdots & a_{1n} \\ \vdots & \ddots & \vdots \\ a_{n1} & \cdots & a_{nn} \end{bmatrix} \begin{bmatrix} x_1 \\ \vdots \\ x_n \end{bmatrix} = \begin{bmatrix} b_1 \\ \vdots \\ b_n \end{bmatrix}. \quad (5.1)$$

Cramer 法则? 时间复杂度  $\mathcal{O}(n \cdot (n+1)!)$

### 5.1 矩阵操作

#### 定义 5.1.1: 稀疏矩阵

如果一个矩阵绝大多数元素是 0, 则称其是稀疏的 (sparse).

#### 定义 5.1.2: 秩一矩阵

若一个矩阵可以表示成  $A = uv^\dagger$ , 则其秩为一.

#### 定理 5.1.1: 奇异值分解

根据奇异值分解, 可以将矩阵表示成秩一矩阵的线性组合:

$$A = U\Sigma V^\dagger = \sum_i \sigma_i u_i v_i^\dagger, \quad (5.2)$$

其中  $U, V$  为幺正矩阵.

#### 定理 5.1.2: 矩阵的 Hierarchical 表示

考虑分块矩阵

$$A = \begin{bmatrix} A_{11} & A_{12} \\ A_{21} & A_{22} \end{bmatrix}$$

$A$  一般不是稀疏的, 但非对角元  $A_{12}, A_{22}$  是稀疏的, 则  $Ax$  可以分块地写成:

$$Ax = \begin{bmatrix} A_{11} & A_{12} \\ A_{21} & A_{22} \end{bmatrix} \begin{bmatrix} x_1 \\ x_2 \end{bmatrix} = \begin{bmatrix} A_{11}x_1 + A_{12}x_2 \\ A_{21}x_1 + A_{22}x_2 \end{bmatrix},$$

对  $A_{11}x, A_{22}x_2$  递归处理.

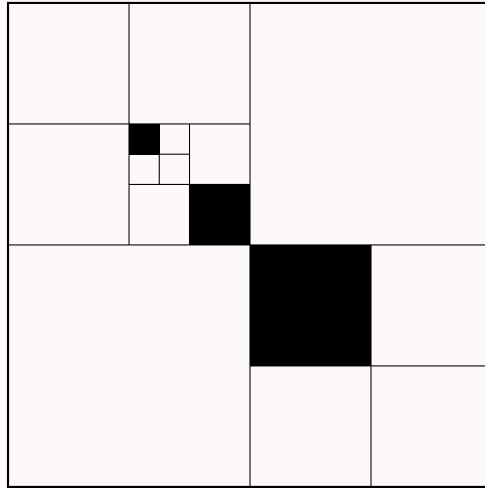


图 5.1: Hierarchical 算法示意图, 白块表示稀疏部分

## 定理 5.1.3: 矩阵乘法的 Strassen 算法

对矩阵乘法  $C = AB$  分块得:

$$\begin{bmatrix} C_{11} & C_{12} \\ C_{21} & C_{22} \end{bmatrix} = \begin{bmatrix} A_{11} & A_{12} \\ A_{21} & A_{22} \end{bmatrix} \begin{bmatrix} B_{11} & B_{12} \\ B_{21} & B_{22} \end{bmatrix},$$

定义

$$M_1 = (A_{11} + A_{22})(B_{11} + B_{22}), \quad (5.3a)$$

$$M_2 = (A_{21} + A_{22})B_{11}, \quad (5.3b)$$

$$M_3 = A_{11}(B_{12} - B_{22}), \quad (5.3c)$$

$$M_4 = A_{22}(B_{21} - B_{11}), \quad (5.3d)$$

$$M_5 = (A_{11} + A_{12})B_{22}, \quad (5.3e)$$

$$M_6 = (A_{21} - A_{11})(B_{11} + B_{12}), \quad (5.3f)$$

$$M_7 = (A_{12} - A_{22})(B_{21} + B_{22}), \quad (5.3g)$$

则

$$C_{11} = M_1 + M_4 - M_5 + M_7, \quad (5.4a)$$

$$C_{12} = M_3 + M_5, \quad (5.4b)$$

$$C_{21} = M_2 + M_4, \quad (5.4c)$$

$$C_{22} = M_1 - M_2 + M_3 + M_6. \quad (5.4d)$$

## 定义 5.1.3: 离散 Fourier 变换

式 (2.27) 中定义了一个线性变换, 称为离散 Fourier 变换 (discrete Fourier transform, DFT)

$$X_n = \sum_{m=0}^{N-1} x_m \omega^{mn},$$

其中  $\omega := e^{-i2\pi/N}$  是  $N$  次单位根, 对应的变换矩阵为

$$F = \begin{bmatrix} 1 & 1 & 1 & \cdots & 1 \\ 1 & \omega & \omega^2 & \cdots & \omega^{N-1} \\ 1 & \omega^2 & (\omega^2)^2 & \cdots & (\omega^2)^{N-1} \\ \vdots & \vdots & \vdots & \ddots & \vdots \\ 1 & \omega^{N-1} & (\omega^{N-1})^2 & \cdots & (\omega^{N-1})^{N-1} \end{bmatrix} \quad (5.5)$$

事实上  $F$  上只有  $n$  个不同的元素. 其逆变换为

$$F^{-1} = \frac{1}{N} \bar{F}. \quad (5.6)$$

## 定理 5.1.4: Cooley-Tukey 快速 Fourier 变换

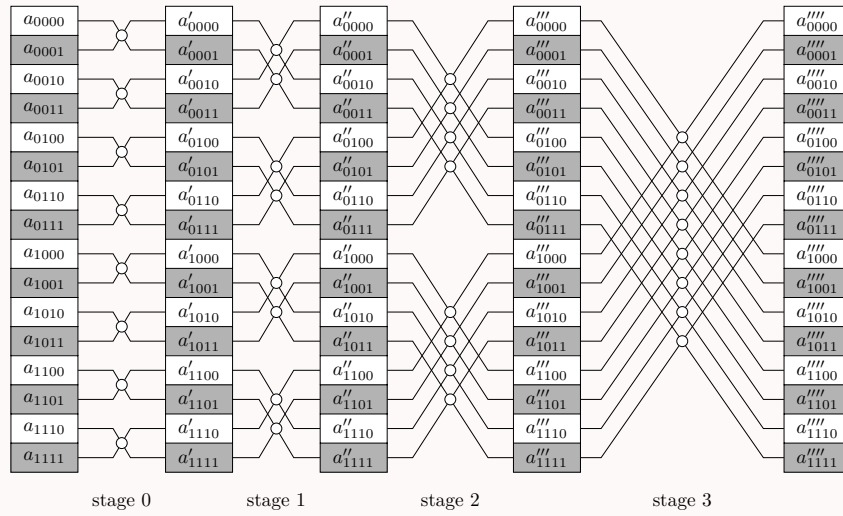
以基 2 (radix-2) 的情形为例, 即  $N = 2^M$ . 将  $X_n$  的求和分成偶数项  $E_n$  和奇数项  $O_n$

$$\begin{aligned} X_n &= \sum_{k=0}^{N/2-1} x_{2k} \omega^{2kn} + \sum_{k=0}^{N/2-1} x_{2k+1} \omega^{(2k+1)n} \\ &= \sum_{k=0}^{N/2-1} x_{2k} \omega^{2kn} + \omega^n \sum_{k=0}^{N/2-1} x_{2k+1} \omega^{2kn} =: E_n + \omega^n O_n, \end{aligned}$$

由于  $\omega^N = 1$ , 注意到

$$\begin{aligned} X_{n+N/2} &= \sum_{k=0}^{N/2-1} x_{2k} \omega^{2k(n+N/2)} + \sum_{k=0}^{N/2-1} x_{2k+1} \omega^{(2k+1)(n+N/2)} \\ &= \sum_{k=0}^{N/2-1} x_{2k} \omega^{2kn} - \omega^n \sum_{k=0}^{N/2-1} x_{2k+1} \omega^{2kn} = E_n - \omega^n O_n, \end{aligned}$$

由此便将  $N$  个  $X_n$  求和 ( $N^2$ ) 转化成了  $N/2$  个  $E_n, O_n$  求和 ( $N^2/2$ ). 采用分而治之的算法思想, 可以将 DFT 的时间复杂度从矩阵向量乘法的  $\mathcal{O}(N^2)$  优化到  $\mathcal{O}(N \log N)$ , 这称为快速 Fourier 变换 (fast Fourier transform, FFT).

图 5.2: FFT 算法示意图 ( $N = 2^3 = 8$ )

注. 对于非基 2 的情形,  $\omega^k$  的周期不是基 2 的, 做处理:

$$X_n = \sum_{m=0}^{N-1} x_m \omega^{-mn} = \sum_{m=0}^N x_m \omega^{[(m-n)^2 - m^2 - n^2]/2}.$$

定义  $\nu_k := \omega^{k^2/2}$ , 记  $Y_n := \nu_n X_n$ ,  $z_m := \nu_m^{-1} x_m$ , 则有卷积形式:

$$Y_n = \sum_{m=0}^{N-1} z_m \nu_{m-n}.$$

可以用 0 将  $z_m, \nu_m$  延拓, 使其周期是一个比  $N$  大的基 2 数  $N'$ . 再在两端做 DFT:

$$\begin{aligned} \sum_{n=0}^{N'-1} Y_n \omega_{N'}^{nk} &= \sum_{n=0}^{N'-1} \sum_{m=0}^{N'-1} z_m \nu_{m-n} \omega_{N'}^{nk} \\ &= \sum_{m=0}^{N'-1} z_m \omega_{N'}^{mk} \sum_{n=0}^{N'-1} \nu_{m-n} \omega_{N'}^{(n-m)k} = \sum_{m=0}^{N'-1} z_m \omega_{N'}^{mk} \sum_{m=0}^{N'-1} \nu_m \omega_{N'}^{mk} \end{aligned}$$

因此通过对  $z_m, \nu_m$  做两次 DFT、一次向量分量积、一次逆 DFT 便可得到  $Y_n$ .

#### 定理 5.1.5: 周期 Toeplitz 变换

$n$  阶矩阵  $A$  若满足  $a_{ij} = c_{i-j}$  且序列  $c_k$  周期为  $n$ , 则  $A$  称为周期 Toeplitz 矩阵, 且

$$A = F^{-1} \Lambda F, \quad (5.7)$$

其中  $\Lambda = \text{diag}(\lambda_0, \dots, \lambda_{n-1})$  且

$$\lambda_i = \sum_{j=0}^{n-1} c_j \omega^{-ij}. \quad (5.8)$$

注.  $n$  阶矩阵  $A$  若满足  $a_{ij} = c_{i-j}$ , 则该矩阵可以扩展成  $2n$  阶的周期 Toeplitz 矩阵.

$$\begin{bmatrix} A & * \\ * & * \end{bmatrix}$$

## 5.2 Gauss 消元法

## 5.3 稳定性分析

在用直接法求解  $Ax = b$  的过程中, 由于舍入误差的存在, 必然会导致结果产生误差. 因而有必要对可能产生的误差作一估计.

### 例 5.3.1: 数据的微小变化导致解的巨大变化

方程组

$$\begin{bmatrix} 10 & 7 & 8 & 7 \\ 7 & 5 & 6 & 5 \\ 8 & 6 & 10 & 9 \\ 7 & 5 & 9 & 10 \end{bmatrix} \begin{bmatrix} x_1 \\ x_2 \\ x_3 \\ x_4 \end{bmatrix} = \begin{bmatrix} 32 \\ 23 \\ 33 \\ 31 \end{bmatrix}, \Rightarrow \begin{bmatrix} x_1 \\ x_2 \\ x_3 \\ x_4 \end{bmatrix} = \begin{bmatrix} 1 \\ 1 \\ 1 \\ 1 \end{bmatrix}.$$

对右端向量做微小的修改

$$\begin{bmatrix} 10 & 7 & 8 & 7 \\ 7 & 5 & 6 & 5 \\ 8 & 6 & 10 & 9 \\ 7 & 5 & 9 & 10 \end{bmatrix} \begin{bmatrix} x'_1 \\ x'_2 \\ x'_3 \\ x'_4 \end{bmatrix} = \begin{bmatrix} 32.1 \\ 22.9 \\ 33.1 \\ 30.9 \end{bmatrix}, \Rightarrow \begin{bmatrix} x'_1 \\ x'_2 \\ x'_3 \\ x'_4 \end{bmatrix} = \begin{bmatrix} 9.2 \\ -12.6 \\ 4.5 \\ -1.1 \end{bmatrix}.$$

对系数矩阵做一微小的修改

$$\begin{bmatrix} 10 & 7 & 8.1 & 7.2 \\ 7.08 & 5.04 & 6 & 5 \\ 8 & 5.98 & 9.89 & 9 \\ 6.99 & 4.99 & 9 & 9.98 \end{bmatrix} \begin{bmatrix} x''_1 \\ x''_2 \\ x''_3 \\ x''_4 \end{bmatrix} = \begin{bmatrix} 32 \\ 23 \\ 33 \\ 31 \end{bmatrix}, \Rightarrow \begin{bmatrix} x''_1 \\ x''_2 \\ x''_3 \\ x''_4 \end{bmatrix} = \begin{bmatrix} -81 \\ 137 \\ -34 \\ 22 \end{bmatrix}.$$

### 定义 5.3.1: 条件数

给定诱导的矩阵范数  $\|\cdot\|$ , 可逆矩阵  $A$  的条件数 (condition number) 为

$$\text{cond}(A) \equiv \|A\| \|A^{-1}\|. \quad (5.9)$$

### 定理 5.3.1: 解的扰动定理

给定可逆矩阵  $A$  和微小扰动  $\Delta A$ , 满足

$$\frac{\|\Delta A\|}{\|A\|} < \frac{1}{\text{cond}(A)},$$



则  $(A + \Delta A)$  也可逆, 考察线性方程组  $Ax = b$  及其扰动解

$$(A + \Delta A)(x + \Delta x) = b + \Delta b,$$

则有

$$\frac{\|\Delta x\|}{\|x\|} \leq \frac{\text{cond}(A)}{1 - \|A^{-1}\| \|\Delta A\|} \left( \frac{\|\Delta A\|}{\|A\|} + \frac{\|\Delta b\|}{\|b\|} \right). \quad (5.10)$$

证明. 由扰动定理定理 1.4.6 知  $(A + \Delta A)$  可逆且

$$\|(A + \Delta A)^{-1}\| \leq \frac{\|A^{-1}\|}{1 - \|A^{-1}\| \|\Delta A\|}. \quad (5.11)$$

由

$$\begin{aligned} \Delta x &= (A + \Delta A)^{-1}(b + \Delta b) - x \\ &= (A + \Delta A)^{-1}(b + \Delta b - (A + \Delta A)x) \\ &= (A + \Delta A)^{-1}(\Delta b - \Delta Ax), \end{aligned}$$

两边取范数

$$\begin{aligned} \|\Delta x\| &\leq \|(A + \Delta A)^{-1}\| (\|\Delta b\| + \|\Delta A\| \|x\|) \\ &\leq \frac{\|A^{-1}\|}{1 - \|A^{-1}\| \|\Delta A\|} \left( \frac{\|\Delta A\|}{\|A\|} \|A\| \|x\| + \frac{\|\Delta b\|}{\|b\|} \|A\| \|x\| \right). \quad \square \end{aligned}$$

**定理 5.3.2: 矩阵相对奇异性的度量**